

## (192) CO気泡の発生を伴なう固体鉄の溶融Fe-C合金への溶解

川崎製鉄技術研究所 横谷敏和 名古屋大学工学部 森一美

**1. 緒言** スクラップの溶鉄への溶解は、固液界面の濃度境界層におけるCの拡散により律速され、その物質移動係数の流体力学的条件による変化が、常温系の無次元相関式に一致することが知られている<sup>(1)</sup>。一方、海綿鉄を電気炉に投入溶解する場合、未還元のFeOの還元によるCO気泡の発生が伴なう。鉄鉱石の溶融還元、溶融スラグ中のFeOのCによる還元なども、CO気泡発生の附随する現象であるが、気泡発生が物質移動過程に与える効果が不明なため、速度論的研究は不十分な段階にある。反応界面が、気泡による擾乱を受けている系の物質移動に関する研究は、常温系においても少ないが、精錬系におけるC-O反応の一般的な存在に鑑みて、重要な研究課題であると考えられる。本研究では、固体鉄中にFeOを介在させ、 $FeO + C \rightarrow Fe + CO(g)$ に従ってCO気泡が固液界面で発生する条件下における、固体鉄溶解に関わるCの物質移動係数の変化を考える。

**2. 実験** SiC抵抗炉を用い、グラファイトルツボ( $48^{\circ} \times 40^{\circ} \times 120^{\text{mm}}$ )中で、550gの炭素飽和鉄を溶解し、 $12.0\text{ mm}^{\phi}$ の純鉄棒を所定時間浸漬して径の減少速度を求める。実験は、Ar 1 atm 及び減圧下、 $1200 \sim 1450^{\circ}\text{C}$ の温度範囲において、試料回転速度0及び50~900 rpmで行った。また圧力計により、気泡全発生量を同時に測定した。純鉄棒は電解鉄の高周波炉溶解にて作製し、スクラップ相当のAl-Killed鋼及び、 $\Omega$ をFeOとして含む、 $\Omega = 50 \sim 1700\text{ ppm}$ 間の8水準の試料を得た。

**3. 実験結果と考察** 図1に実験結果の一例を示す。この溶解速度から、次式に従い、見掛けの物質移動係数、 $k_m(\text{cm/sec})$ を算出した。 $k_m = -(dr/dt) \left\{ \ln [1 + (C_L - C_L^*)/(C_L^* - C_s)] \right\}^{-1}$ 、ここで、 $r$ : 径、 $C_L$ : 溶鉄のC濃度、 $C_L^*$ : 液相線C濃度、 $C_s$ : 固体鉄のC濃度。

含有酸素量の増加と共に、 $k_m$ は著しく増大している。写真1には、Al-Killed鋼、 $\Omega = 50, 1700\text{ ppm}$ の試料の溶解後の形状を示す。Al-Killed鋼は、自然対流の存在で説明される形態( $r \propto L^{0.25}$ 、L: 試料高さ方向長さ)を示すが、気泡発生と共に、溶解面は均一で、かつ平滑となり、さらに気泡発生量が増加すると共に、試料上部が太い形態になる。これらは、局所的な気泡発生が関与する、核沸騰伝熱<sup>(2)</sup>に類似する現象であると考えられる。即ち、マクロ的には、界面の溶鉄が気泡を含有した二相流体となり、密度が著しく低下して、流体場が発達した乱流自然対流となること、ミクロ的には、図2に模式的に示すよる、気泡の生成、離脱によって誘起される局所流れの存在、或いは、濃度境界層の剥離に引き続く、非定常拡散の繰り返しが、 $k_m$ の著しい増大をもたらす。

**4. 文献** (1) Y-U.Kim and R.D.Pehlke; Met. Trans. 5(1974) 2527. (2) 日本機械学会; 「沸騰熱伝達」(1965)

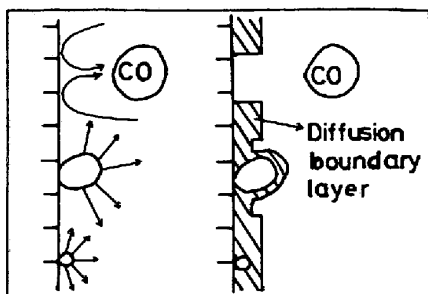


図2 物質移動に与える気泡発生の効果

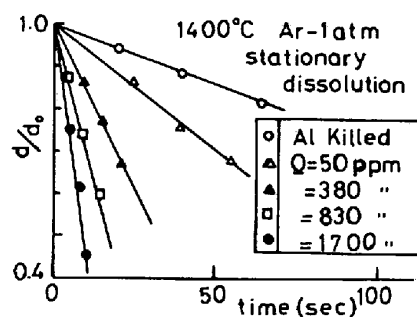


図1 溶解速度

	1400°C	Ar 1 atm	50	Stationary dissolution
Sample	Al-Killed	50 ppm	1700 ppm	
Immersion time	65 sec.	25 sec.	9 sec.	

写真1 溶解後の試料形状